

# 核磁共振成像 及其应用

---

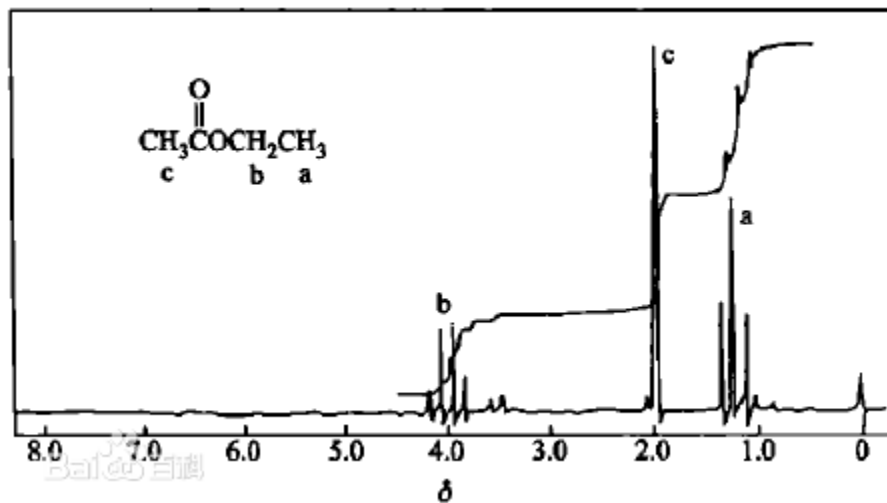
羊远哲 15307130264

# 研究背景

---

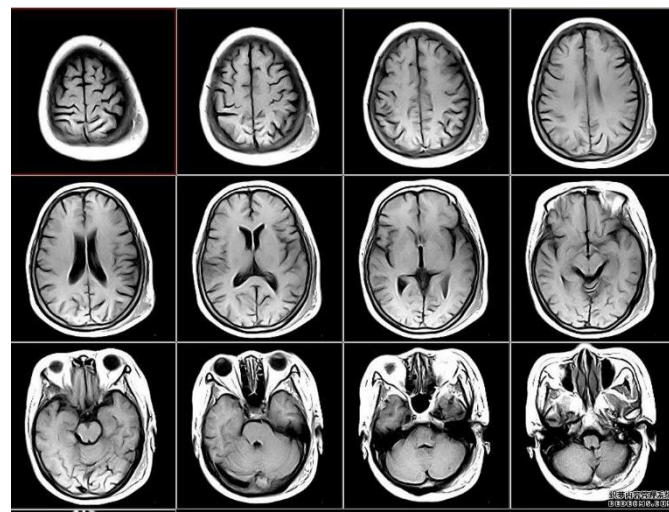
- 医学方面的应用
- 有机物研究的应用

# 有机物的研究



通过不同基团中的H、C共振频率不同来进行分辨

# 核磁共振成像



核磁共振成像是一种利用核磁共振原理的最新医学影像新技术，与其他辅助检查手段相比，核磁共振具有成像参数多、扫描速度快、组织分辨率高和图像更清晰等优点

# 核磁共振原理

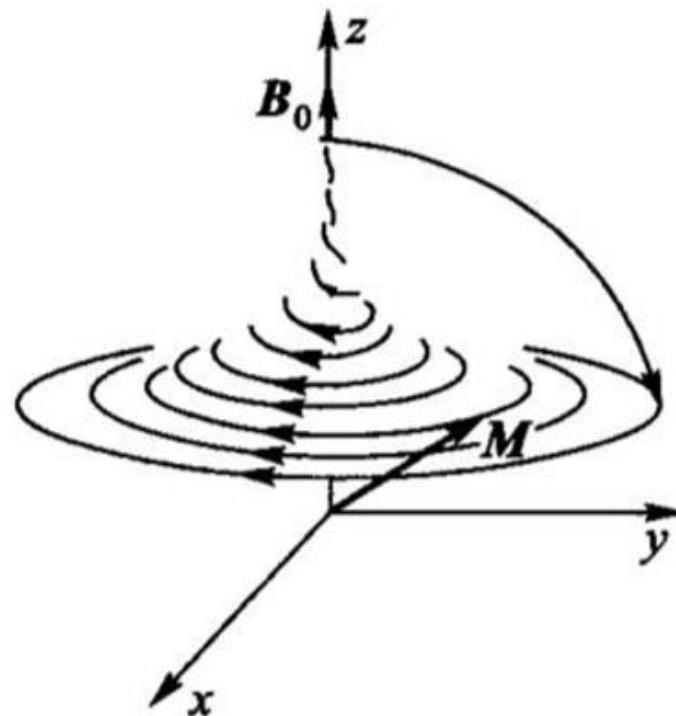
---

- 弛豫
- 自旋回波

# 弛豫

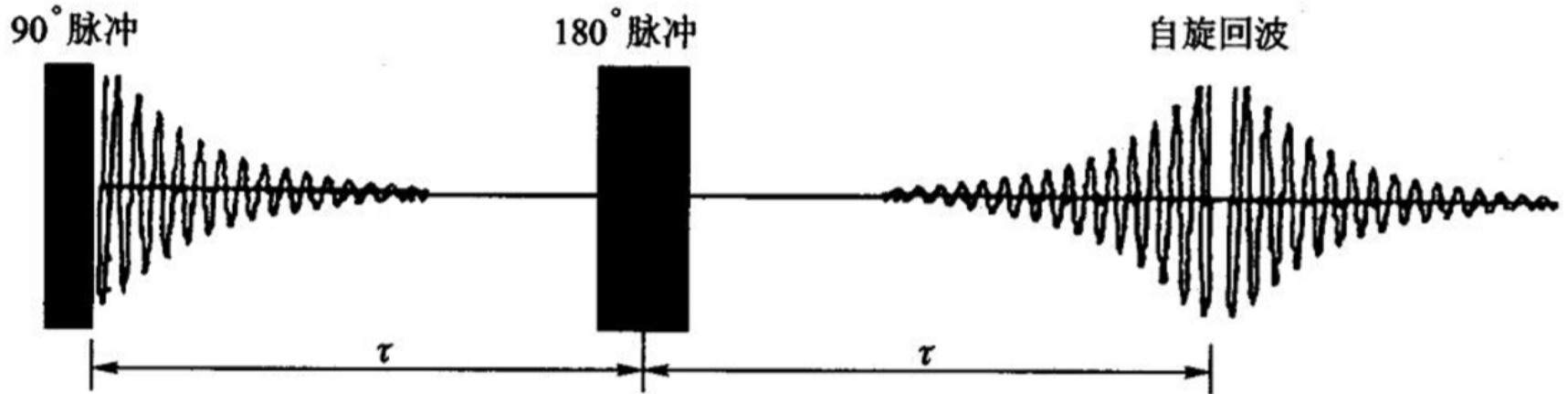
---

粒子受到激发后，以非辐射的方式回到基态而达到玻尔兹曼平衡的过程



# 自旋回波

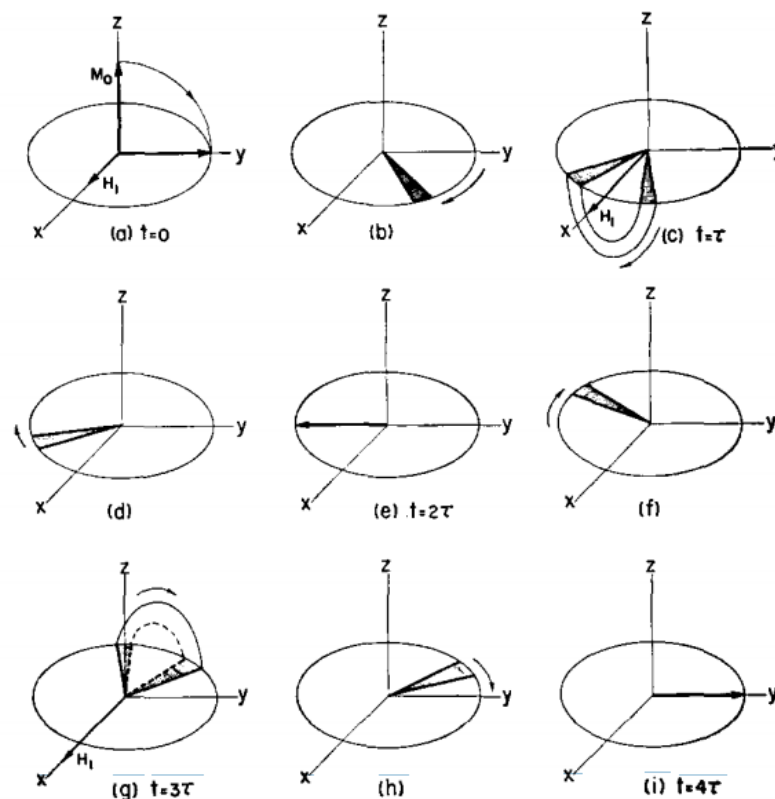
---



通过  $180^\circ$  脉冲自旋将自旋重聚焦，产生下一次自旋回波信号

# CPMG序列

在y方向不断施加flip的场，减小弛豫时间





# 芝麻含油量的测定

0.21g + 附注 <del>12.969</del> 12.969	0.40g <del>23.742</del> 23.742	0.61g 34.312	<del>0.11g</del> 1.00g 54.287
0.81g 46.196	黑芝麻 0.57g 15.237	水 1.88g	绿豆 0.94g 16.98 白芝麻 0.68g 21.382

使用实验室提供的芝麻油制备了质量不同的样品，使用CPMG回波序列并观察回波

# 拟合结果

---

$$f(x) = p1*x + p2$$

Coefficients (with 95% confidence bound)

p1 = 0.0189 (0.01734, 0.02046)

p2 = -0.0424 (-0.1008, 0.01602)

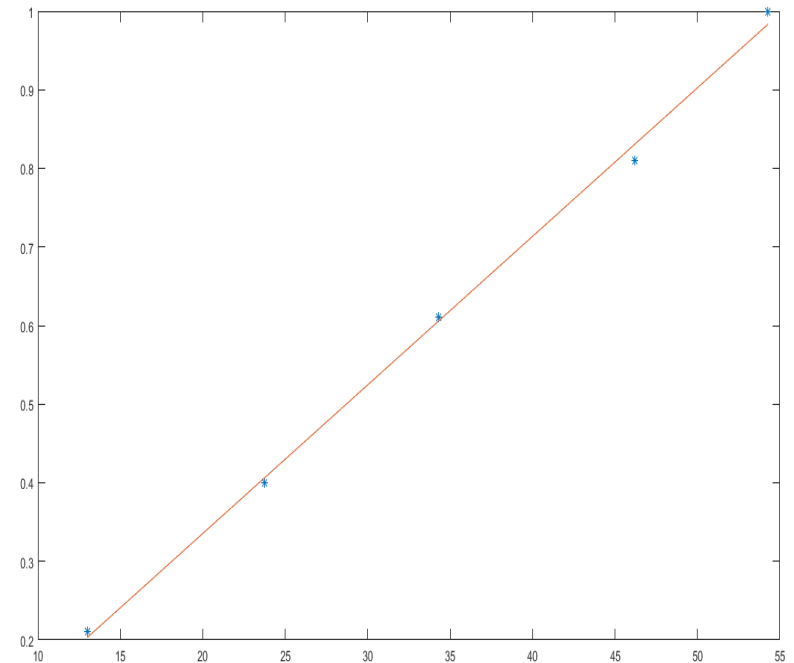
Goodness of fit:

SSE: 0.0008

R-square: 0.998

Adjusted R-square: 0.9973

RMSE: 0.01633



# 脂肪的测定

---

## **0.68g白芝麻**

样品脂肪含量:0.3517g

百分比51.72%

## **0.57g黑芝麻**

样品脂肪含量:0.2456g

百分比43.08%

## **0.94g绿豆**

样品脂肪含量:0.2785g

百分比29.63%

# 成像原理

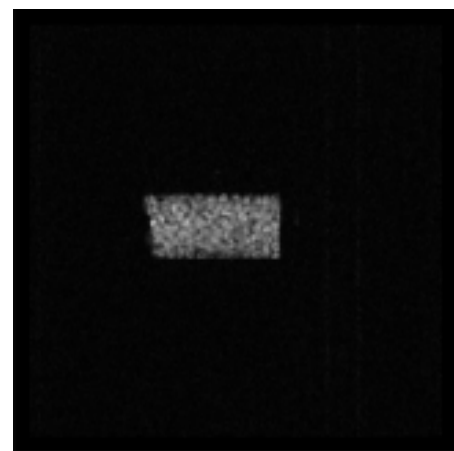
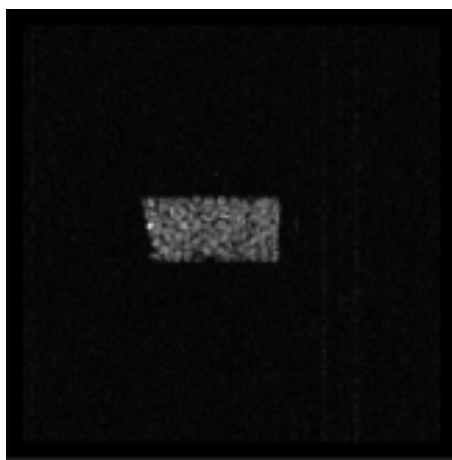
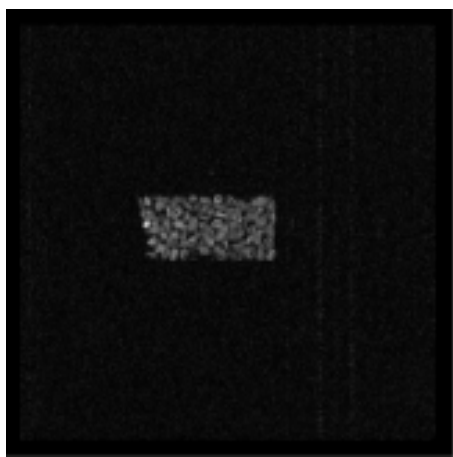
---

- 选片
- 编码
- 傅里叶变换

$$\omega_0 = \gamma B_0$$

# Z方向梯度（选片厚度）

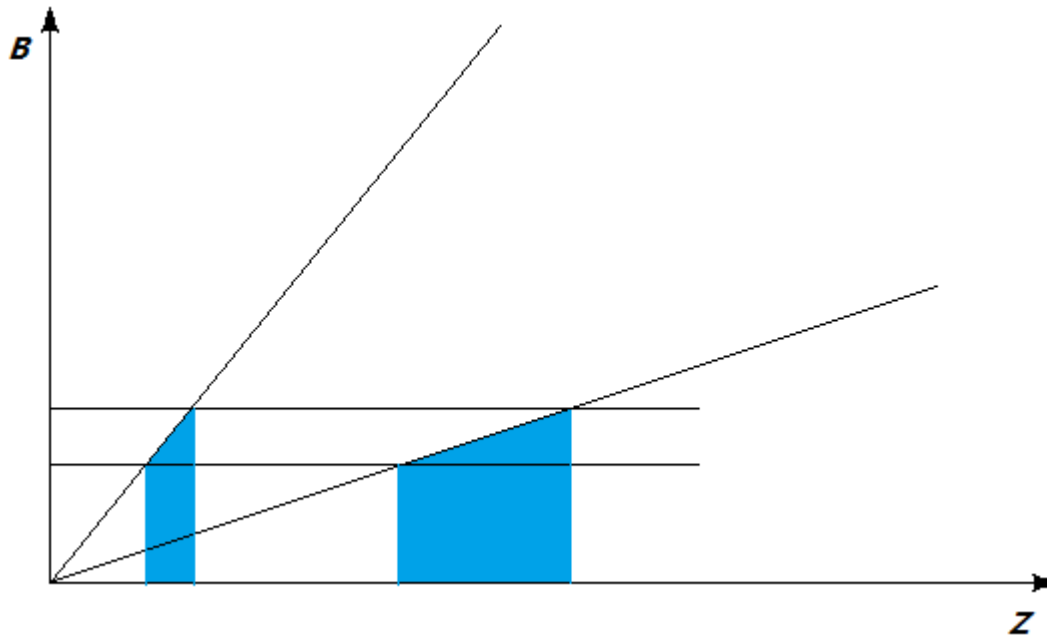
---



Z方向磁场梯度的影响

# Z方向梯度（选片厚度）

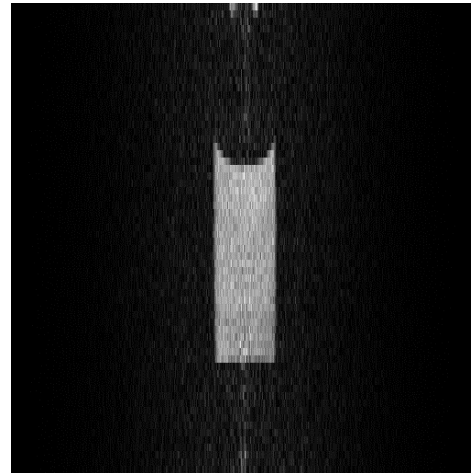
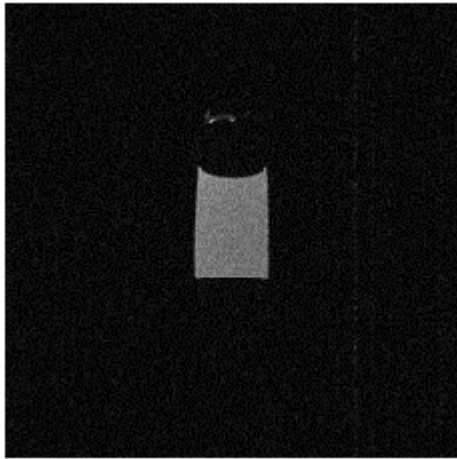
---



Z方向磁场梯度示意

# Y方向（相位编码）

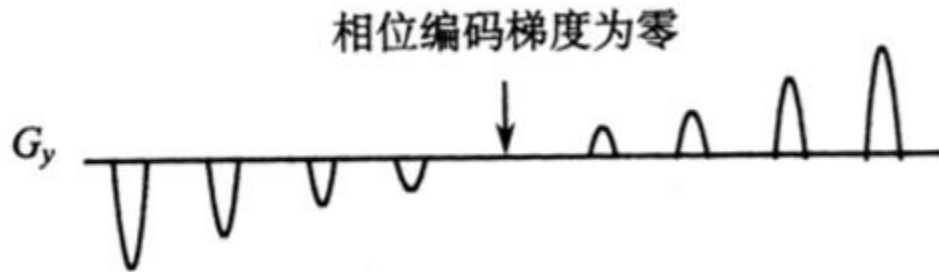
---



y方向磁场梯度的影响

# Y方向（相位编码）

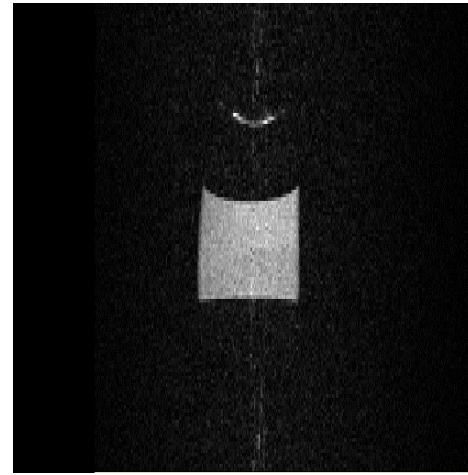
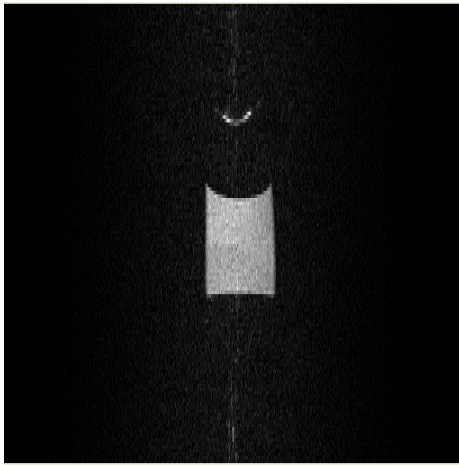
---





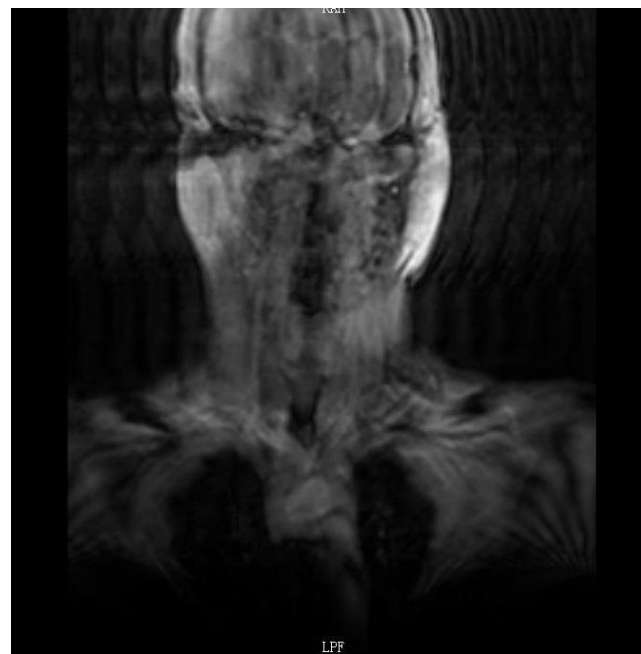
# X方向（频率编码）

---



y方向磁场梯度的影响

# 伪影



**伪影(Artifacts)**是指原本被扫描物体并不存在而在图像上却出现的各种形态的影像。伪影大致分为与患者有关和与机器有关的两类。

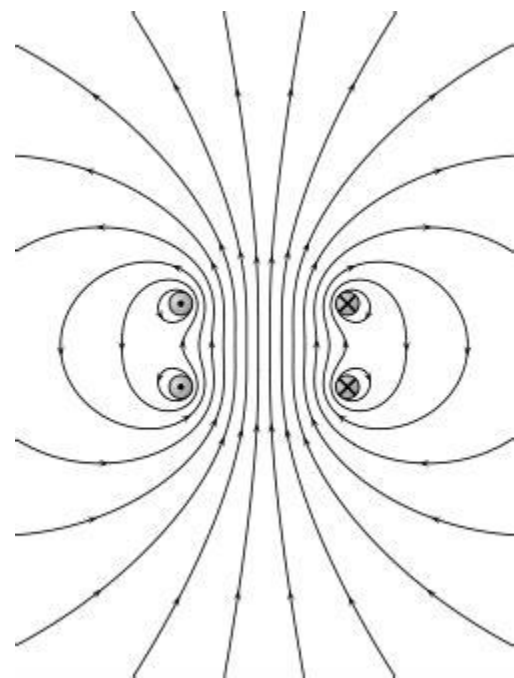
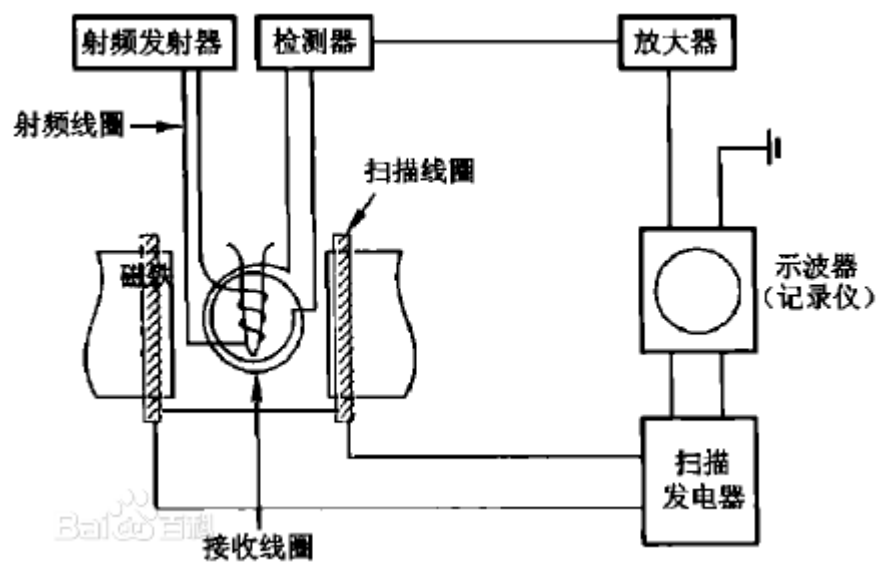
# 类卷褶伪影

---



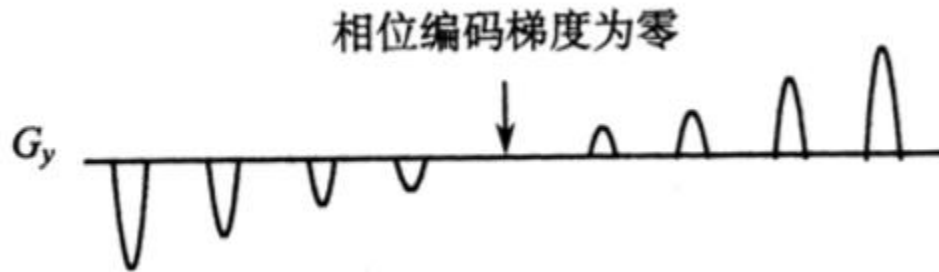
沿着相位编码方向移动样本的结果

# 亥姆霍兹线圈



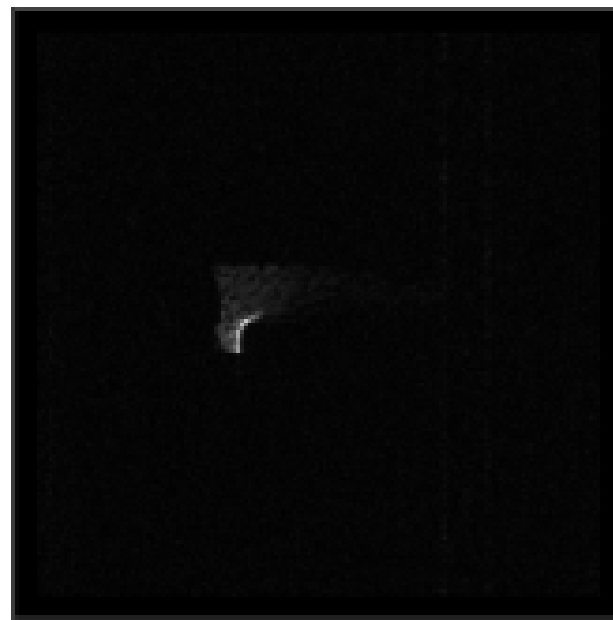
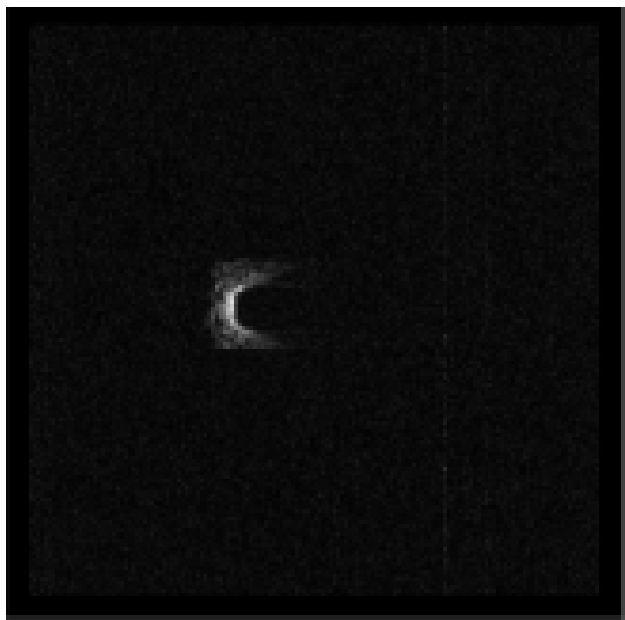
# Y方向（相位编码）

---



# 金属伪影

---



样品中施加长约2mm左右的不锈钢丝所得图像

# 金属材料的磁化率

Material	$\chi_v / 10^{-6}$	Material	$\chi_v / 10^{-6}$
Bi	-164	Al	20.7
Au	-34	Zr	109
Ag	-24	Ti	170
Zn	-15.7	Ta	178
Cu	-9.63	Ti6Al4V alloy	179 <sup>[12]</sup>
Water (37 °C)	-9.05	Nb	237
$\alpha$ -Sn	-23	NiTi alloy	245
Human tissue	-11~-7	Pt	279
Si	-4.2	Pd	806
$\beta$ -Sn	2.4	L605 alloy	960 <sup>[13]</sup>
Mg	11.7	Stainless steel	3520~6700

Schenck J F. *The role of magnetic susceptibility in magnetic resonance imaging: MRI magnetic compatibility of the first and second kinds [J]. Med. Phys., 1996, 23: 815*

# 参考文献

---

- S. MEIBooM and D. GIL *Modified Spin-Echo Method for Measuring Nuclear Relaxation Times*
- Schenck J F. *The role of magnetic susceptibility in magnetic resonance imaging: MRI magnetic compatibility of the first and second kinds [J]. Med. Phys., 1996, 23: 815*
- Zhou F Y, Qiu K J, Li H F, et al. *Screening on binary Zr-1X (X=Ti, Nb, Mo, Cu, Au, Pd, Ag, Ru, Hf and Bi) alloys with good in vitro cytocompatibility and magnetic resonance imaging compatibility [J]. Acta Biomater., 2013, 9: 9578*
- *Helmholtz coil Wikipedia entry*
- 魏利斌 芝麻籽粒脂肪含量核磁共振无损快速测定方法的建立
- 张进慧 MRI常见伪影介绍
- 任伊宾等 MRI磁兼容合金研究. 金属学报, 2017,10:1323
- Eric D. Black *Nuclear Magnetic Resonance (NMR)*



感谢您的聆听